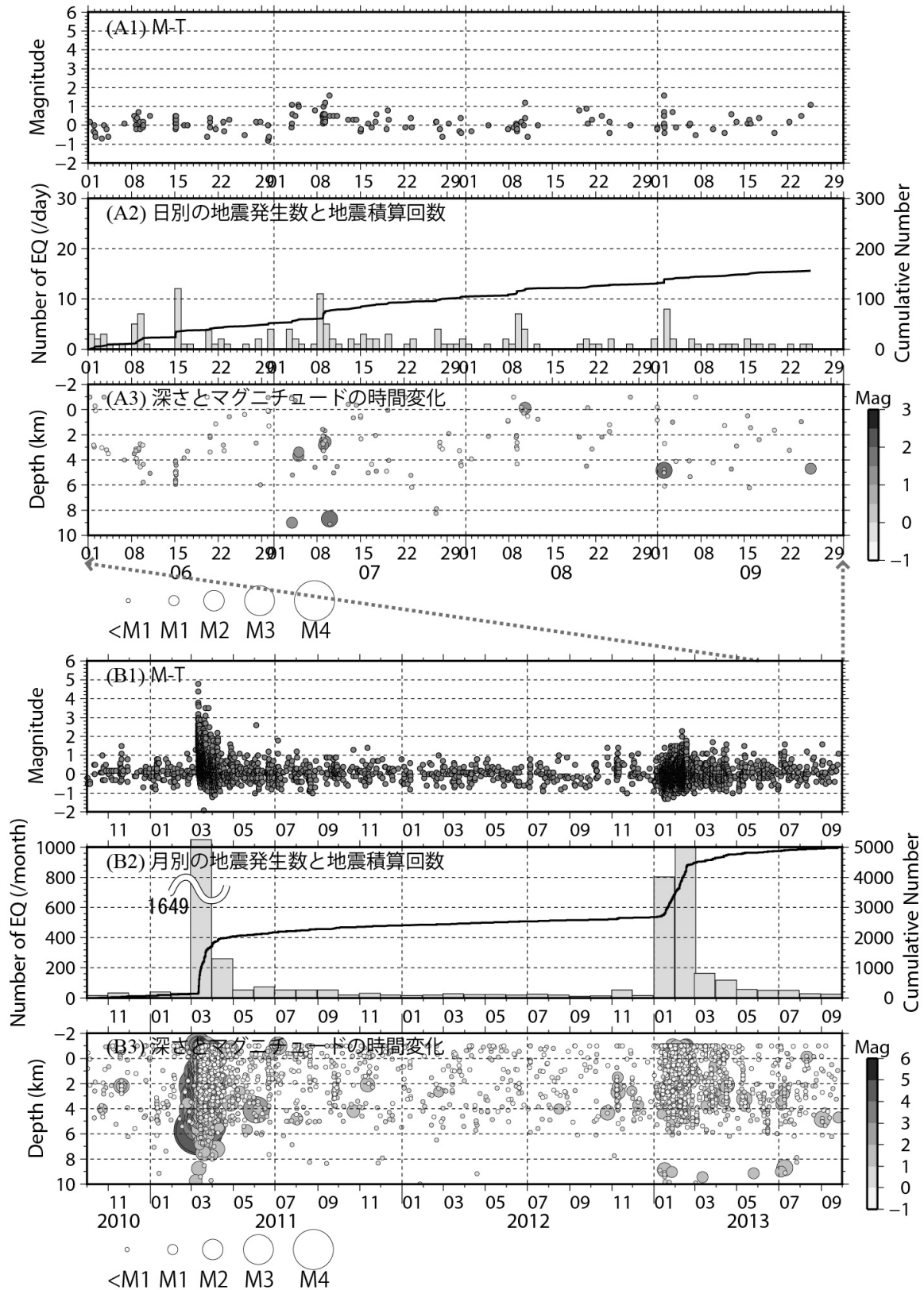


第2図 箱根火山周辺の震源分布 (2010年10月1日～2013年9月30日)

黒丸は2013年6月1日～2013年9月30日、灰色の丸は2010年10月1日～2013年5月31日を示す。

この地図の作成には、国土地理院発行の『数値地図50mメッシュ(標高)』を使用した。

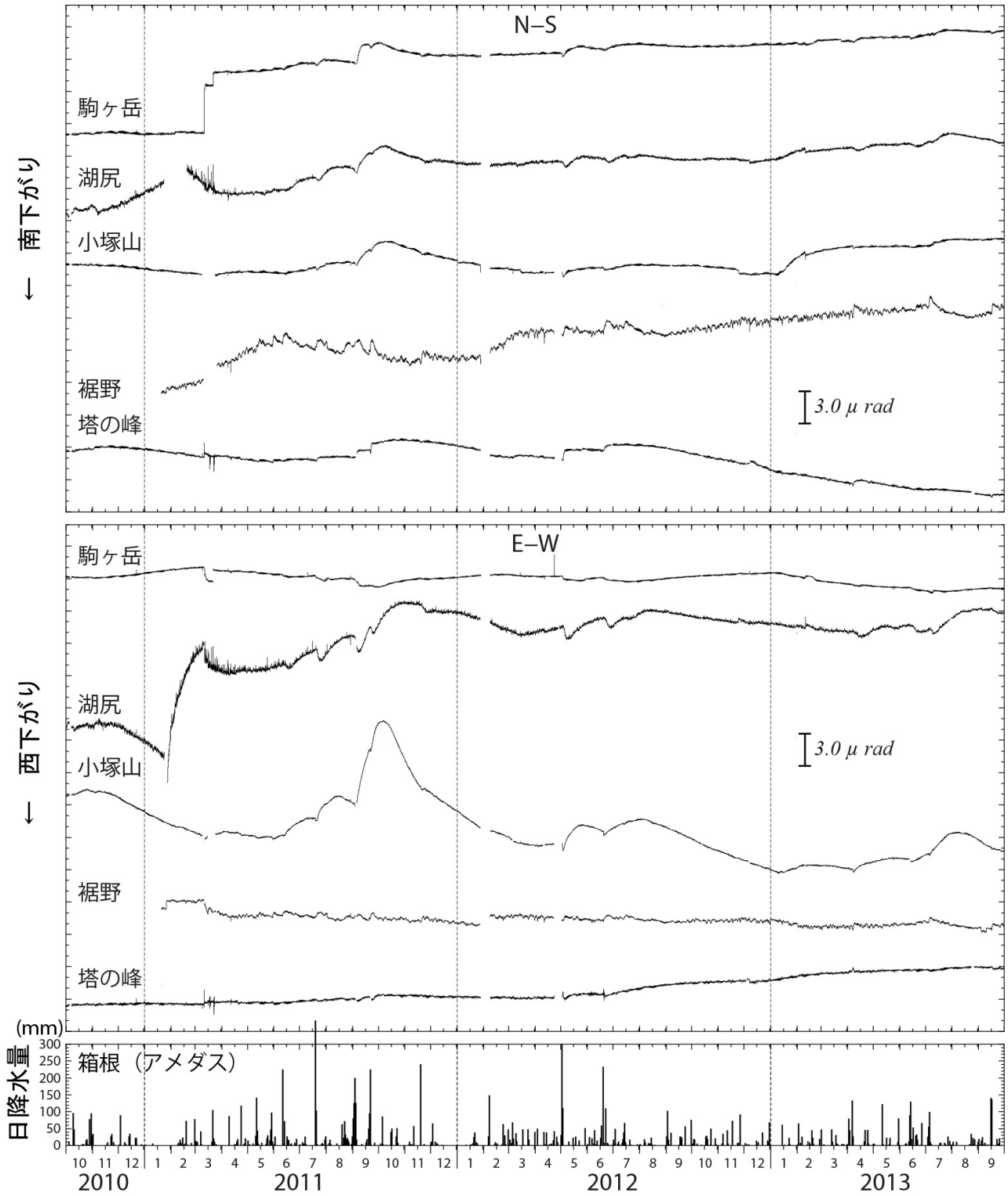
Fig. 2 Epicentral map and cross sections of hypocenters in the north-south and the east-west directions at Mt. Hakone. Black and gray circles represent earthquakes occurred in the periods of June 1 through September 30, 2013 and October 1, 2010 through May 31, 2013, respectively.



第3図 箱根火山周辺の地震活動（2010年10月1日～2013年9月30日）

(A)は2013年6月1日～2013年9月30日、(B)は2010年10月1日～2013年9月30日を示す。

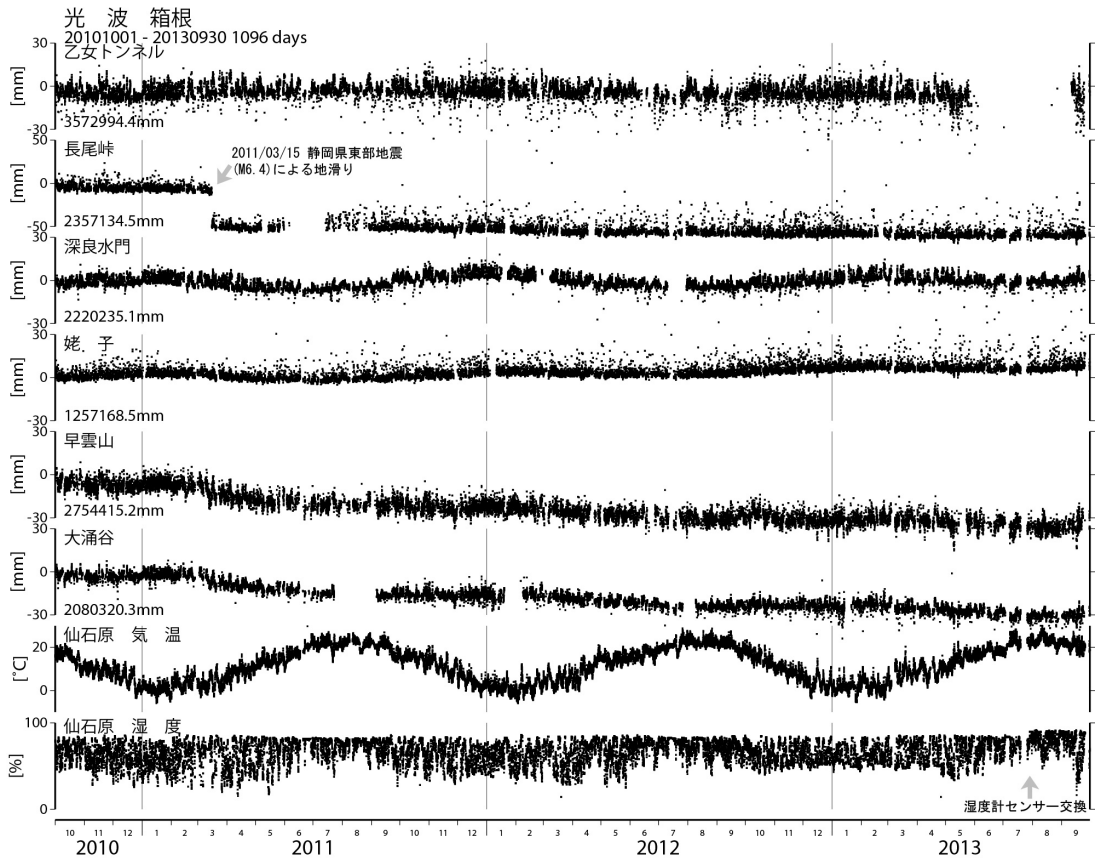
Fig. 3 Seismic activities at Mt. Hakone. (A) June 1 through September 30, 2013. (B) October 1, 2010 through September 30, 2013.



第4図 傾斜変動 (2010年10月1日~2013年9月30日)

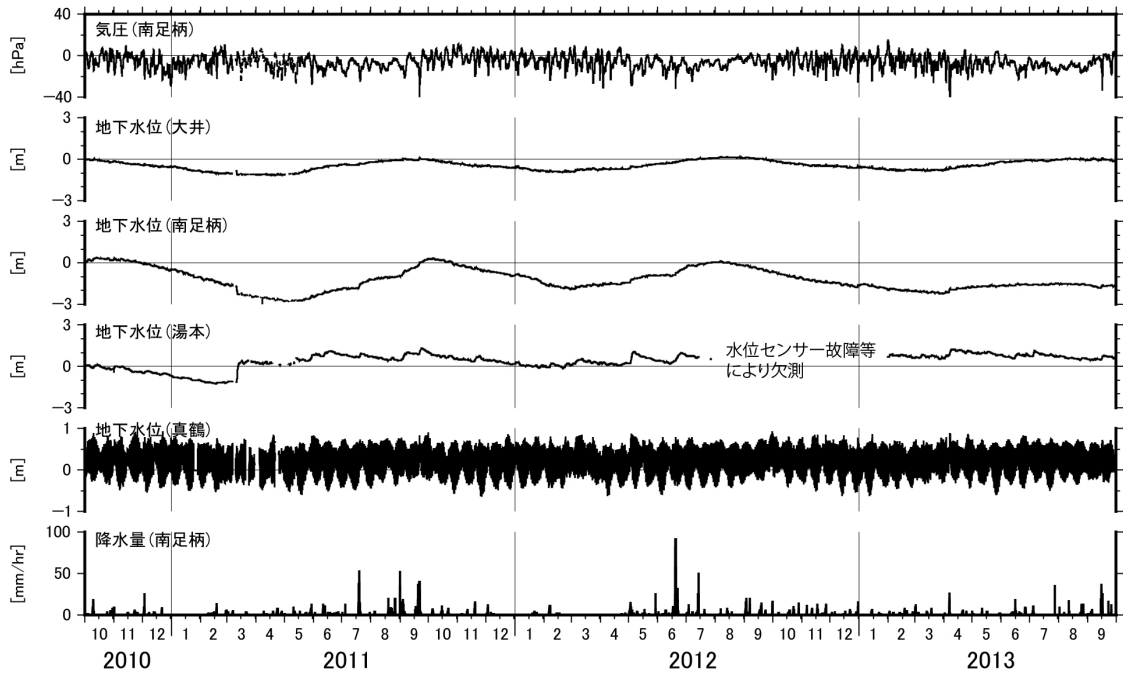
ステップや異常値の一部は取り除いている。日降水量は気象庁アメダス観測点(箱根)を使用した。

Fig. 4 Tiltmeter data in the period from October 1, 2010 to September 30, 2013.



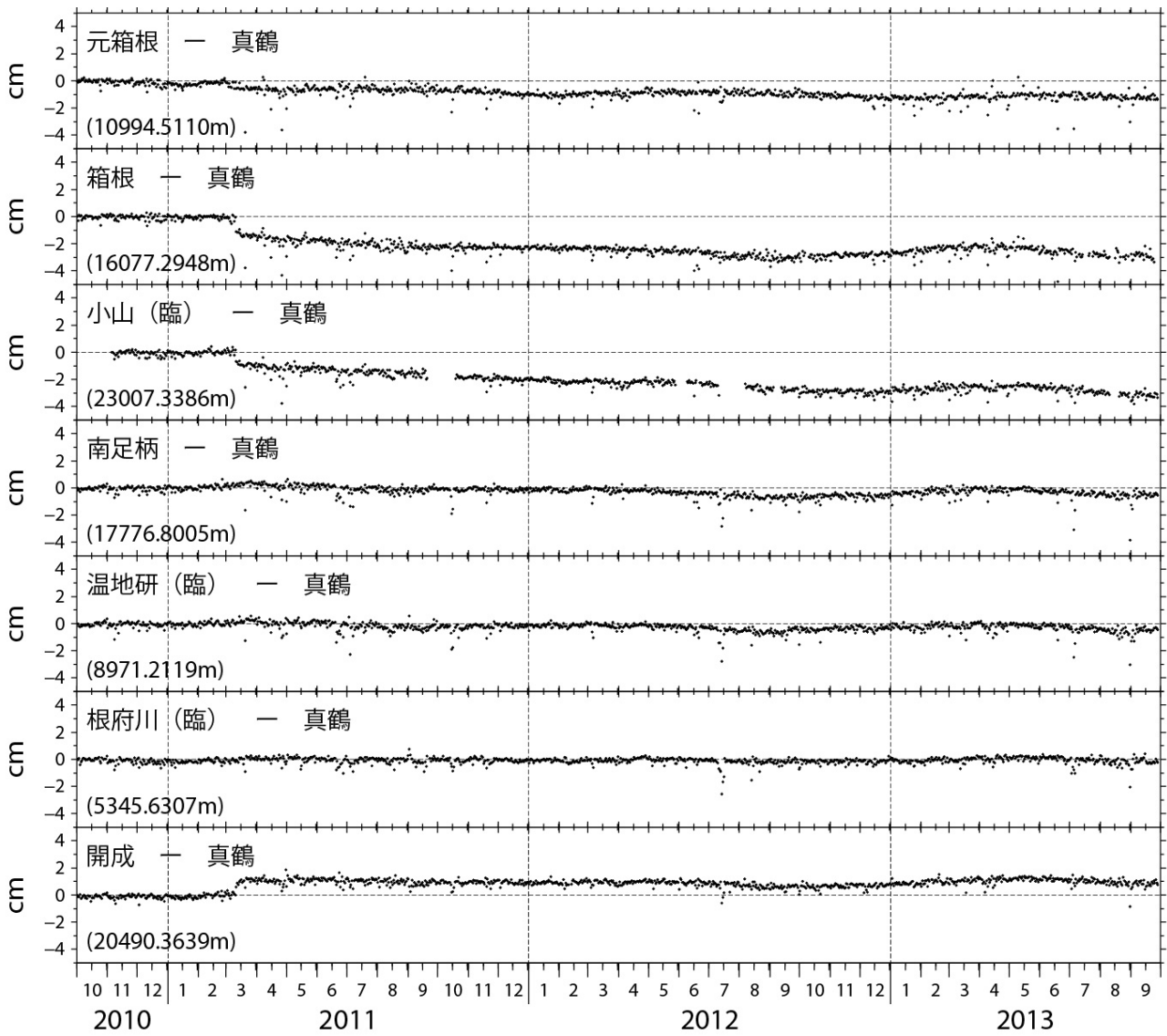
第5図 光波測量 (2010年10月1日～2013年9月30日)

Fig. 5 Time variation of baseline lengths obtained by EDM (Electric Distance Measurement) in the period from October 1, 2010 to September 30, 2013.



第6図 地下水位変動 (2010年10月1日～2013年9月30日)

Fig. 6 Time variation of ground water level in the period from October 1, 2010 to September 30, 2013.



第7図 GPS 基線長変動 (2010年10月1日～2013年9月30日)

Fig.7 Time variation of baseline lengths obtained by GPS in the period from October 1, 2010 to September 30, 2013.